

Ultimo aggiornamento delle informazioni: Gennaio 2018

**corpo medio - warm white - ottica white flood****Codice prodotto**

P641

**Descrizione tecnica**

Proiettore orientabile con adattatore per installazione su binario tensione di rete per sorgente LED PCB lineare in tonalità Warm White (3000K). Prodotto completo di riflettore realizzato in alluminio super puro anodizzato al fine di garantire una distribuzione luminosa wide flood. Alimentatore DALI integrato all'interno del corpo. Vano ottico realizzato in alluminio pressofuso. Rotazione di 360° attorno all'asse verticale e un'inclinazione di 90° rispetto al piano orizzontale. Dissipazione del calore passiva. Possibilità di installazione di diversi accessori esterni tra cui schermo antiabbagliamento e schermo asimmetrico.

**Installazione**

A binario elettrificato o su basetta

**Dimensione (mm)**

170x126

**Colore**

Nero (04) | Bianco/Nero (47)

**Peso (Kg)**

1.35

**Montaggio**

binario trifase|a soffitto

**Cablaggio**

Prodotto completo di componentistica elettronica

Soddisfa EN60598-1 e relative note

IP20 IP40 Vano ottico

**Configurazione di prodotto P641****Caratteristiche del prodotto**

Flusso totale emesso [Lm]: 2249.8  
Potenza totale [W]: 38.6  
Efficienza luminosa [Lm/W]: 58.3  
Life Time: 50,000h - L80 - B10 (Ta 25°C)

Flusso totale disperso verso l'alto [Lm]: 0  
Flusso in emergenza [Lm]: /  
Tensione [V]: -  
Numero di vani: 1

**Caratteristiche del vano Tipo 1**

Rendimento [%]: 90  
Codice lampada: LED  
Codice ZVEI: LED  
Potenza nominale [W]: 33  
Flusso nominale [Lm]: 2500  
Intensità massima [cd]: /  
Angolo di apertura [°]: 80° / 106°

Numero di lampade per vano: 1  
Attacco: /  
Perdite del trasformatore [W]: 5.6  
Temperatura colore [K]: 3000  
IRC: 90  
Lunghezza d'onda [Nm]: /  
Step MacAdam: 2

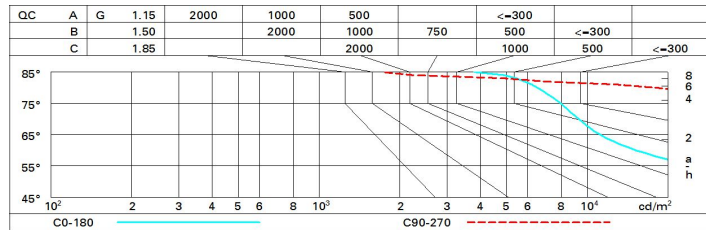
**Polare**

| Imax=1104 cd                  |  | C5-185 $\gamma=20^\circ$ |  | CIE             |  | Lux |     |      |     |      |
|-------------------------------|--|--------------------------|--|-----------------|--|-----|-----|------|-----|------|
| 90°                           |  | 180°                     |  | nL 0.90         |  | h   | d1  | d2   | Em  | Emax |
|                               |  |                          |  | 64-92-99-100-90 |  | 1   | 1.7 | 2.7  | 684 | 1018 |
|                               |  |                          |  | UGR 25.4-31.4   |  | 2   | 3.4 | 5.3  | 171 | 255  |
|                               |  |                          |  | DIN A.51        |  | 3   | 5   | 8    | 76  | 113  |
|                               |  |                          |  | UTE 0.90C+0.00T |  | 4   | 6.7 | 10.6 | 43  | 64   |
|                               |  |                          |  | F*1=642         |  |     |     |      |     |      |
|                               |  |                          |  | F*1+F*2=917     |  |     |     |      |     |      |
|                               |  |                          |  | F*1+F*2+F*3=991 |  |     |     |      |     |      |
| $\alpha=80^\circ / 106^\circ$ |  |                          |  |                 |  |     |     |      |     |      |

**Coefficienti di utilizzazione**

| R    | 77 | 75 | 73 | 71 | 55 | 53 | 33 | 00 | DRR |
|------|----|----|----|----|----|----|----|----|-----|
| K0.8 | 66 | 58 | 53 | 49 | 57 | 52 | 52 | 47 | 52  |
| 1.0  | 72 | 65 | 60 | 56 | 63 | 59 | 58 | 53 | 59  |
| 1.5  | 80 | 75 | 70 | 67 | 73 | 69 | 68 | 64 | 71  |
| 2.0  | 85 | 80 | 77 | 74 | 79 | 76 | 75 | 71 | 78  |
| 2.5  | 87 | 84 | 81 | 78 | 82 | 80 | 79 | 75 | 83  |
| 3.0  | 89 | 86 | 84 | 82 | 85 | 82 | 81 | 78 | 86  |
| 4.0  | 91 | 89 | 87 | 85 | 87 | 86 | 84 | 81 | 90  |
| 5.0  | 92 | 91 | 89 | 87 | 89 | 87 | 86 | 82 | 92  |

**Curva limite di luminanza**



**Diagramma UGR**

| Corrected UGR values (at 2500 lm bare lamp luminous flux) |      |                  |      |      |      |      |                |      |      |      |      |
|---|------|------------------|------|------|------|------|----------------|------|------|------|------|
| Reflect.:   |      | viewed crosswise |      |      |      |      | viewed endwise |      |      |      |      |
| ceiling/cav   |      | 0.70             | 0.70 | 0.50 | 0.50 | 0.30 | 0.70           | 0.70 | 0.50 | 0.50 | 0.30 |
| walls   |      | 0.50             | 0.30 | 0.50 | 0.30 | 0.30 | 0.50           | 0.30 | 0.50 | 0.30 | 0.30 |
| work pl.  |      | 0.20             | 0.20 | 0.20 | 0.20 | 0.20 | 0.20           | 0.20 | 0.20 | 0.20 | 0.20 |
| Room dim  |      | viewed crosswise |      |      |      |      | viewed endwise |      |      |      |      |
| X   | Y    |                  |      |      |      |      |                |      |      |      |      |
| 2H  | 2H   | 24.9             | 25.8 | 25.2 | 26.0 | 26.3 | 30.2           | 31.0 | 30.5 | 31.3 | 31.5 |
|   | 3H   | 24.8             | 25.6 | 25.2 | 25.9 | 26.2 | 30.2           | 31.0 | 30.5 | 31.3 | 31.5 |
|   | 4H   | 24.8             | 25.5 | 25.1 | 25.8 | 26.1 | 30.1           | 30.9 | 30.5 | 31.2 | 31.5 |
|   | 6H   | 24.7             | 25.4 | 25.1 | 25.7 | 26.1 | 30.0           | 30.7 | 30.4 | 31.0 | 31.4 |
|   | 8H   | 24.7             | 25.3 | 25.1 | 25.7 | 26.0 | 30.0           | 30.7 | 30.4 | 31.0 | 31.3 |
|   | 12H  | 24.7             | 25.3 | 25.0 | 25.6 | 26.0 | 30.0           | 30.6 | 30.4 | 30.9 | 31.3 |
| 4H  | 2H   | 25.6             | 26.3 | 25.9 | 26.6 | 26.9 | 31.3           | 32.0 | 31.6 | 32.3 | 32.6 |
|   | 3H   | 25.6             | 26.2 | 25.9 | 26.5 | 26.9 | 31.5           | 32.1 | 31.9 | 32.4 | 32.8 |
|   | 4H   | 25.5             | 26.1 | 25.9 | 26.4 | 26.8 | 31.5           | 32.0 | 31.9 | 32.4 | 32.8 |
|   | 6H   | 25.5             | 25.9 | 25.9 | 26.3 | 26.8 | 31.4           | 31.9 | 31.9 | 32.3 | 32.7 |
|   | 8H   | 25.4             | 25.9 | 25.9 | 26.3 | 26.7 | 31.4           | 31.8 | 31.8 | 32.2 | 32.7 |
|   | 12H  | 25.4             | 25.8 | 25.8 | 26.2 | 26.7 | 31.3           | 31.7 | 31.8 | 32.2 | 32.6 |
| 8H  | 4H   | 25.7             | 26.1 | 26.1 | 26.5 | 27.0 | 31.6           | 32.0 | 32.0 | 32.4 | 32.9 |
|   | 6H   | 25.6             | 26.0 | 26.1 | 26.5 | 26.9 | 31.6           | 31.9 | 32.0 | 32.4 | 32.8 |
|   | 8H   | 25.6             | 25.9 | 26.1 | 26.4 | 26.9 | 31.5           | 31.8 | 32.0 | 32.3 | 32.8 |
|   | 12H  | 25.6             | 25.8 | 26.1 | 26.3 | 26.9 | 31.5           | 31.8 | 32.0 | 32.2 | 32.8 |
|   | 12H  | 25.6             | 25.8 | 26.1 | 26.3 | 26.9 | 31.5           | 31.8 | 32.0 | 32.2 | 32.8 |
| 12H   | 4H   | 25.7             | 26.1 | 26.1 | 26.5 | 27.0 | 31.5           | 31.9 | 32.0 | 32.3 | 32.8 |
|   | 6H   | 25.7             | 26.0 | 26.1 | 26.4 | 26.9 | 31.5           | 31.8 | 32.0 | 32.3 | 32.8 |
|   | 8H   | 25.6             | 25.9 | 26.1 | 26.4 | 26.9 | 31.5           | 31.8 | 32.0 | 32.3 | 32.8 |
| Variations with the observer position at spacing:         |      |                  |      |      |      |      |                |      |      |      |      |
| S =   | 1.0H | 1.7 / -3.2       |      |      |      |      | 0.4 / -0.4     |      |      |      |      |
|   | 1.5H | 2.7 / -5.4       |      |      |      |      | 0.6 / -1.2     |      |      |      |      |
|   | 2.0H | 3.9 / -6.7       |      |      |      |      | 1.5 / -1.8     |      |      |      |      |